

ТРАНСПОРТИРОВКА ПУЧКА С НАЧАЛЬНЫМ ЭЛЛИПТИЧЕСКИМ СЕЧЕНИЕМ ПРИ СОХРАНЕНИИ ЕГО ФОРМЫ

П. И. Акимов¹, А. А. Гаврилин¹, А. П. Никитин¹, В. А. Сыровой², А. Б. Богословская³

¹ФГУП «НПП»ТОРИЙ

²ФГУП «Всероссийский электротехнический институт

³Российский университет дружбы народов

Статья поступила в редакцию 14 октября 2015 г.

Аннотация. Обсуждается проблема транспортировки электронного пучка с эллиптическим сечением при однородном и неоднородном распределении плотности пространственного заряда. Рассчитана конфигурация канала, обеспечивающая сохранение начальной формы пучка.

Ключевые слова: электронный пучок, пространственный заряд, электронно-оптическая система.

Abstract. The problem of transport of electron beam with elliptic cross-section in the case, when the distribution of spatial charge is either homogeneous or nonhomogeneous, is discussed. The configuration of channel providing initial beam form conservation is calculated.

Keywords: electron beam, spatial charge, electron optical system.

В последнее десятилетие появляется множество работ, направленных на создание различных СВЧ-приборов (усилители, клистроны, гиротроны, преобразователи СВЧ-энергии) с ленточными пучками[1–12]. Информация об электронно-оптических системах встречается лишь в некоторых из них [4,9–12], причем, как правило, она представлена рисунками, иллюстрирующими результат использования трехмерных программ траекторного анализа. Линейная компрессия L при этом достигает очень высоких значений ($L \geq 30$), что означает необходимость достоверного расчета величин порядка $1/30$. С запасом на порядок программы анализа должны иметь ошибку, не превышающую десятых долей процента.

В литературе не встречаются методические исследования, гарантирующие подобную точность численных моделей, в которых вопросы адекватного описания окрестности катода (сингулярной поверхности при эмиссии в ρ - или T -режимах с нулевой скоростью старта электронов) и оси пучка (прямой от пересечения плоскостей симметрии).

Среди цитированных работ не существует единого мнения о том, какова должна быть конфигурация пучка на выходе из ЭОС и соответствия результатов: в [7] отмечено, что прямоугольный катод при компрессии по одной из координат обеспечил почти однородную плотность тока эмиссии J и сохранение прямоугольного сечения пучка; в [5] дана рекомендация по переходу к эллиптическому катоду из-за нарушения формы сечения на торцах (“dumbell distortion”, гантельная конфигурация), которое, по-видимому, сопровождается неоднородностью J ; в [2] при изучении диокотронной неустойчивости рассматривается пучок с эллиптическим сечением; в [8] для прямоугольного катода плотность тока на периферии достигает 14 A/cm^2 при средней плотности 8 A/cm^2 .

Некоторые постановки вызывают определенное удивление. Так, в [5] в качестве наводящих соображений используются результаты по синтезу осесимметричной пушки Пирса вместо плоской пушки с бесконечным ленточным пучком, а достоверность результатов обосновывается совпадением расчетов по двум различным программам анализа. Подобное совпадение свидетельствует только об отсутствии ошибок программирования при одной и той же или близких моделях пучка.

Авторы работы [6] игнорируют основные результаты теории формирования (угол наклона 67.5° нулевого формирующего электрода) и незнакомы с задачами формирования эллиптических и “почти прямоугольных” пучков [13]. Вывод о предпочтении нулевого формирующего электрода в виде прямоугольного короба по сравнению с эллиптическим сечением явно противоречит известным в оптике плотных пучков фактам.

Не менее важной, чем проблема формирования потока, является задача его дальнейшей транспортировки. При этом возможны два варианта, связанные либо с технологичной формой канала (прямоугольное сечение), либо с желанием сохранить начальное эллиптическое сечение потока. В первом случае решение возможно только численными методами [14,15], во втором в их использовании нет необходимости.

Целью работы является расчет лапласовского поля вне цилиндрического электронного пучка с эллиптическим сечением и определение конфигурации канала транспортировки. При произвольном распределении плотности пространственного заряда $\rho(\lambda_0^2)$, где $\lambda_0 = \text{const}$ определяет эллиптический контур, решение может быть выписано в квадратурах [16].

В случае $\rho = \rho(\lambda_0^2)$ для потенциала в пучке φ_i и лапласовского поля φ вне пучка имеем

$$\varphi_i = \frac{ab}{4} \int_0^{\infty} \left[\int_0^{\lambda^2(u)} \rho(t) dt \right] \frac{du}{\sqrt{(a^2 + u)(b^2 + u)}}, \quad (1)$$

$$\lambda^2(u) = \frac{x^2}{a^2 + u} + \frac{y^2}{b^2 + u}, \lambda_0 = \lambda(0).$$

$$\varphi = \frac{ab}{4} \left\{ \int_0^{\zeta} \left[\int_0^1 \rho(t) dt \right] \frac{du}{\sqrt{(a^2 + u)(b^2 + u)}} + \int_{\zeta}^{\infty} \left[\int_0^{\lambda^2(u)} \rho(t) dt \right] \frac{du}{\sqrt{(a^2 + u)(b^2 + u)}} \right\}$$

Здесь a, b – полуоси эллипса; x, y – декартовы координаты в плоскости сечения; ξ – корень

$$\lambda^2(\zeta) = 1$$

Альтернативная форма решения для φ основана на использовании метода Римана в случае уравнений эллиптического типа [13]. Введем эллиптические координаты ξ, η с равными коэффициентами Ляме $h_1 = h_2 = h$:

$$\begin{aligned} x &= \sqrt{a^2 - b^2} \operatorname{ch} \xi \cos \eta, y = \sqrt{a^2 - b^2} \operatorname{sh} \xi \sin \eta, \\ h^2(\xi, \eta) &= (a^2 - b^2)(\operatorname{ch}^2 \xi - \cos^2 \eta) \end{aligned} \quad (2)$$

Решение уравнения Лапласа представим в виде:

$$\varphi = \varphi_i + S,$$

$$\frac{\partial^2 S}{\partial x^2} + \frac{\partial^2 S}{\partial y^2} = -\rho, \quad \frac{\partial^2 S}{\partial \xi^2} + \frac{\partial^2 S}{\partial \eta^2} = -h^2(\xi, \eta)\rho(\xi, \eta), \quad (3)$$

причем функция S удовлетворяет однородным условиям на границе пучка и выражается через двойной интеграл:

$$S = -\operatorname{Re} \int_0^v dt \int_0^{v-t} h^2(u + i\tau, t)\rho(u + i\tau, t)d\tau, \quad (4)$$

$$v = \xi - \xi_e, \xi_e = \frac{1}{2} \ln \frac{a+b}{a-b},$$

где $\xi = \xi_e, v = 0$ – уравнение границы потока.

Функции под интегралом в (4) претерпели следующие изменения:

$$\rho(\xi, \eta) = \rho(v + \xi_e, \eta) \rightarrow \rho(t + \xi_e, u + i\tau), \quad (5)$$

При полиномиальном распределении $\rho(\lambda_0)$

$$\rho = \rho_0 + \rho_1 \lambda_0^2 + \dots + \rho_n (\lambda_0^2)^n \quad (6)$$

решение удастся выразить в элементарных функциях.

Для $n-1$ -го члена полинома $\rho_{n-1} \lambda_0^{n-1}$, $n = 2v$ или $n = 2v + 1$ имеем

$$\hat{\varphi}_i = \frac{\rho_{n-1}}{n} \sum_{m=0}^v C_n^m I_m x^{2(n-m)} y^{2m}, \quad (7)$$

$$I_m = \frac{1}{\frac{1}{2} - m} \frac{1}{b^2 - a^2} \left\{ -t^{n-1} [1 + (b^2 - a^2)t]^{\frac{1}{2}-m} \right.$$

$$\left. + 2(n-1) \frac{[1 + (b^2 - a^2)t]^{\frac{1}{2}-m}}{(b^2 - a^2)^{n-1}} \sum_{k=0}^{n-2} \frac{(-1)^k C_{n-2}^k [1 + (b^2 - a^2)t]^{n-k-2}}{2(n-m-k) - 1} \right\} \Bigg|_{1/a^2}^0$$

В выражении для I_m необходимо выполнить для t подстановки верхнего и нижнего пределов интегрирования; крышка в формуле для φ_i означает, что после вычисления последнего члена с $m=v$ выражение должно быть дополнено симметричными членами, получающимися из уже выписанных при помощи замен $a \rightleftharpoons b, x \rightleftharpoons y$.

В случае $\rho = \rho_0 = \text{const}$ имеем

$$\varphi_i = \frac{1}{2} \rho_0 \frac{ab}{a+b} \left(\frac{x^2}{a} + \frac{y^2}{b} \right) = \frac{1}{2} \rho_0 ab(a-b) \left[\frac{1}{a} \text{ch}^2 \xi \cos^2 \eta + \frac{1}{b} \text{sh}^2 \xi \sin^2 \eta \right], \quad (8)$$

$$\varphi = \varphi_i + \frac{1}{2} \rho_0 ab (\xi - \xi_e) - \frac{1}{8} \rho_0 (a^2 - b^2) \{ \text{ch} 2\xi - \text{ch} 2\xi_e + [1 - \text{ch} 2(\xi - \xi_e)] \cos 2\eta \}$$

Фрагменты решения, соответствующие коэффициенту ρ_1 в (6), определены формулами

$$\varphi_i = \frac{1}{4} \rho_1 \frac{ab}{(a^2 - b^2)^2} \left\{ \frac{1}{3} \left[2 + \frac{b^2 - 3a^2 b}{a^2} \frac{b}{a} \right] x^4 + \frac{1}{3} \left[2 + \frac{a^2 - 3b^2 a}{b^2} \frac{a}{b} \right] y^4 + 2 \frac{(a-b)^2}{ab} x^2 y^2 \right\}, \quad (9)$$

$$\begin{aligned} \varphi = \varphi_i - \frac{1}{8} \rho_1 (a^2 - b^2)^2 & \left\{ -\frac{1}{4} \left(\alpha_1 \text{sh} 2\xi_e + \frac{1}{2} \alpha_2 \text{sh} 4\xi_e \right) (\xi - \xi_e) \right. \\ & + \frac{1}{8} \alpha_1 (\text{ch} 2\xi - \text{ch} 2\xi_e) + \frac{1}{32} (\text{ch} 4\xi - \text{ch} 4\xi_e) \\ & + \frac{1}{8} \alpha_1 \left[1 - \text{ch} 2(\xi - \xi_e) + \frac{1}{2} [\text{ch} 4\xi - \text{ch} 2(\xi + \xi_e)] \right. \\ & \left. - \frac{1}{6} [\text{ch} 4\xi - \text{ch} 2(\xi - 3\xi_e)] \right] \cos 2\eta \\ & + \frac{1}{32} \left[\alpha_2 [1 - \text{ch} 4(\xi - \xi_e)] + \alpha_1 [\text{ch} 2\xi - \text{ch} 2(2\xi - 3\xi_e)] \right. \\ & \left. + \frac{1}{3} \alpha_1 [\text{ch} 2\xi - \text{ch} 2(2\xi - 3\xi_e)] \right] \cos 4\eta \left. \right\}; \end{aligned}$$

$$\alpha_1 = \frac{b^2 - a^2}{a^2 b^2}, \quad \alpha_2 = \frac{b^2 + a^2}{a^2 b^2}.$$

В случае $\rho_2 \neq 0$

$$\begin{aligned} \varphi_i = \frac{1}{6} \rho_2 \frac{ab}{(a^2 - b^2)^3} & \left\{ \frac{1}{15} \left[8 - \left[3 \frac{(a^2 - b^2)^2}{a^4} - 4 \frac{b^2}{a^2} + 12 \right] \frac{b}{a} \right] x^6 \right. \\ & - \frac{1}{15} \left[8 - \left[3 \frac{(a^2 - b^2)^2}{b^4} - 4 \frac{a^2}{b^2} + 12 \right] \frac{a}{b} \right] y^6 - \left(8 + \frac{b^3}{a^3} - 6 \frac{b}{a} - 3 \frac{a}{b} \right) x^4 y^2 \\ & \left. + \left(8 + \frac{a^3}{b^3} - 6 \frac{a}{b} - 3 \frac{b}{a} \right) x^2 y^4 \right\}, \quad (10) \end{aligned}$$

$$\begin{aligned} \varphi = \varphi_i - \frac{1}{32} \rho_2 (a^2 & - b^2)^3 \left\{ - \left[\frac{1}{8} \left(\frac{11}{2} \alpha_1^2 + \alpha_2^2 \right) \operatorname{sh} 2\xi_e + \frac{1}{4} \alpha_1 \alpha_2 \operatorname{sh} 4\xi_e + \frac{1}{24} \left(\frac{1}{2} \alpha_1^2 + \alpha_2^2 \right) \operatorname{sh} 6\xi_e \right] (\xi \right. \\ & - \xi_e) + \frac{1}{16} \left(\frac{11}{2} \alpha_1^2 + \alpha_2^2 \right) (\operatorname{ch} 2\xi - \operatorname{ch} 2\xi_e) + \frac{1}{16} \alpha_1 \alpha_2 (\operatorname{ch} 4\xi - \operatorname{ch} 4\xi_e) \\ & + \frac{1}{144} \left(\frac{1}{2} \alpha_1^2 + \alpha_2^2 \right) (\operatorname{ch} 6\xi - \operatorname{ch} 6\xi_e) \\ & + \left[\frac{1}{16} \left(\frac{11}{2} \alpha_1^2 + \alpha_2^2 \right) (1 - \operatorname{ch} 2(\xi - \xi_e)) \right. \\ & - \frac{1}{16} (\alpha_1^2 + \alpha_2^2) \left(\operatorname{ch} 4\xi - \operatorname{ch} 2(\xi + \xi_e) - \frac{1}{3} (\operatorname{ch} 4\xi - \operatorname{ch} 2(\xi - 3\xi_e)) \right) \\ & + \left. \frac{1}{32} \alpha_1 \alpha_2 \left[\operatorname{ch} 6\xi - \operatorname{ch} 2(\xi + 2\xi_e) - \frac{1}{2} (\operatorname{ch} 6\xi - \operatorname{ch} 2(\xi - 4\xi_e)) \right] \right] \cos 2\eta \\ & + \left[\frac{1}{16} \alpha_1 \alpha_2 [1 - \operatorname{ch} 4(\xi - \xi_e)] \right. \\ & + \frac{1}{32} \left(\frac{3}{4} \alpha_1^2 + \alpha_2^2 \right) \left[\operatorname{ch} 2\xi - \operatorname{ch} 2\xi_e + \frac{1}{3} (\operatorname{ch} 2\xi - \operatorname{ch} 2(\xi - 3\xi_e)) \right] \\ & + \left. \frac{1}{128} \alpha_1^2 \left[\operatorname{ch} 6\xi - \operatorname{ch} 2(2\xi + \xi_e) - \frac{1}{5} (\operatorname{ch} 6\xi - \operatorname{ch} 2(2\xi - 5\xi_e)) \right] \right] \cos 4\eta \\ & + \left[\frac{1}{144} \left(\frac{1}{2} \alpha_1^2 + \alpha_2^2 \right) [1 - \operatorname{ch} 6(\xi - \xi_e)] \right. \\ & + \frac{1}{192} \alpha_1^2 \left[\operatorname{ch} 4\xi - \operatorname{ch} 2(3\xi - \xi_e) + \frac{1}{5} (\operatorname{ch} 4\xi - \operatorname{ch} 2(3\xi - 5\xi_e)) \right] \\ & + \left. \frac{1}{96} \alpha_1 \alpha_2 \left[\operatorname{ch} 2\xi - \operatorname{ch} 2(3\xi - 2\xi_e) + \frac{1}{2} (\operatorname{ch} 2\xi - \operatorname{ch} 2(3\xi - 4\xi_e)) \right] \right] \cos 6\eta \left. \right\} \end{aligned}$$

Из формул (8)-(10) видно, что эквипотенциали вне эллиптического пучка всегда содержат азимутальные зависимости, делающие их отличными от эллипсов того же семейства, что и контур сечения.

Исследование случая $\rho \neq \text{const}$ интересно по следующим соображениям. Вариация плотности пространственного заряда в поперечном сечении является скорее правилом, чем исключением. К ней приводят особенности электронно-оптической системы (при отсутствии магнитного поля криволинейные траектории со сферического катода, необходимые для достижения компрессии,

возможны только за счет градиента плотности тока эмиссии в р-режиме), необходимость формирования близких к кольцевым структур, поражение эмиссионного слоя в результате ионной бомбардировки при длительной эксплуатации прибора. На рис.1 представлен результат экспериментального исследования последнего эффекта (кривая 1) и близкая в качественном отношении кривая 2, описываемая полиномом (6) при $n=2$.

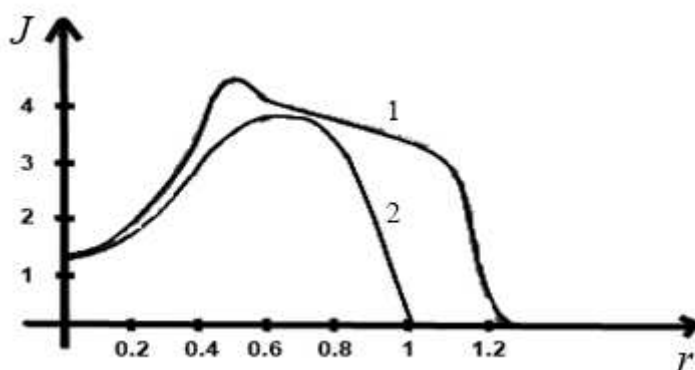


Рис.1 Изменение эмиссионной способности под действием ионной бомбардировки

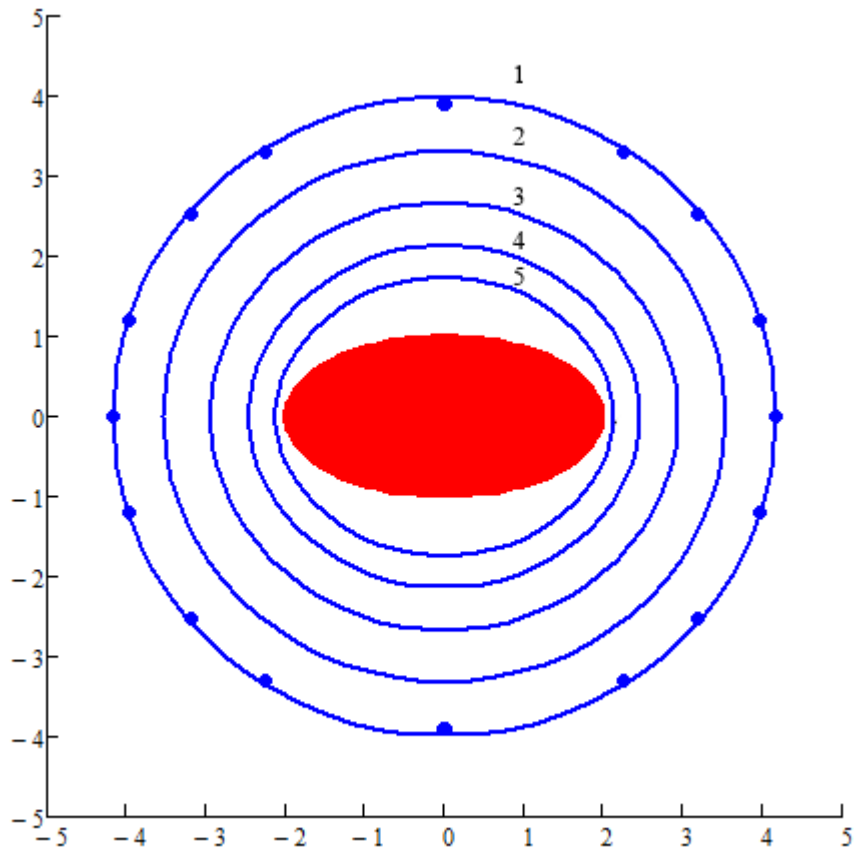
При повышении температуры катода и наработке в 1500 часов дефицит тока составил около 10%, а поврежденная часть эмиссионного слоя – около 20% поверхности катода. Неоднородный токоотбор будет транслироваться в канал транспортировки.

На рис.2 приведены результаты расчета возможной конфигурации канала в случае $\bar{\rho}_0 = 1$ при разном отношении полуосей a/b пучка ($a/b = 2, 5, 10$). Эквипотенциальные кривые вне пучка в системе, связанной с его границей, не являются эллипсами, но могут быть аппроксимированы семейством эллипсов с отношением полуосей a/b , отличным от соответствующего параметра поперечного сечения электронного потока.

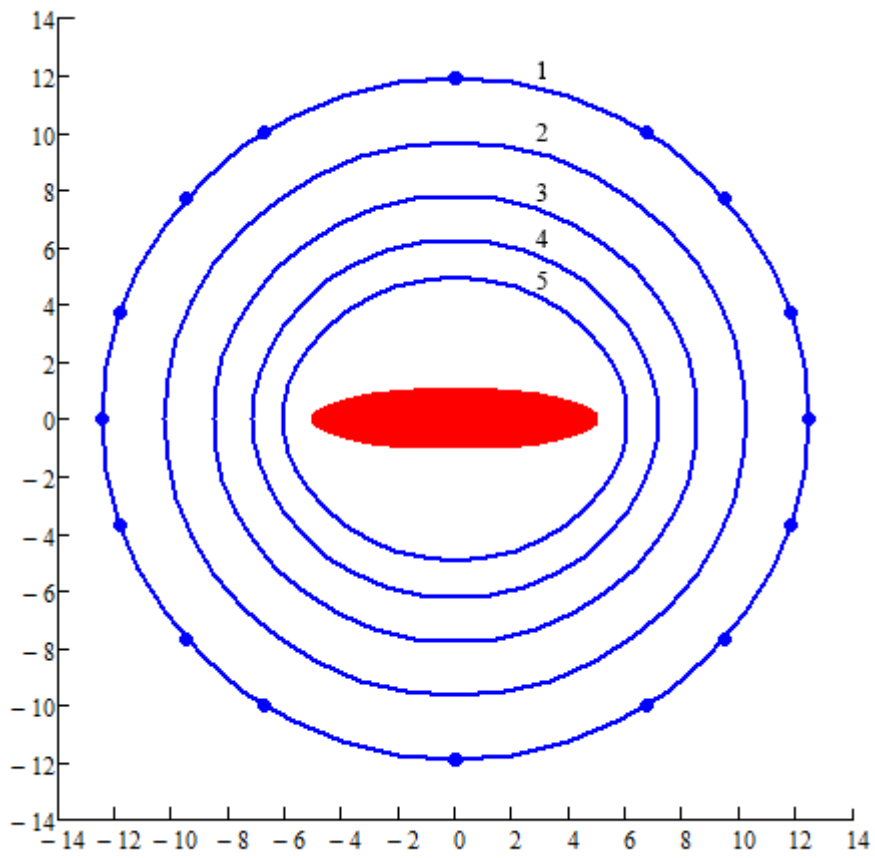
Эффект изменения плотности по закону

$$\rho/\rho_0 = 1 + \bar{\rho}_1 \lambda_0; \quad \bar{\rho}_1 = -0.5, 1.5 \quad (11)$$

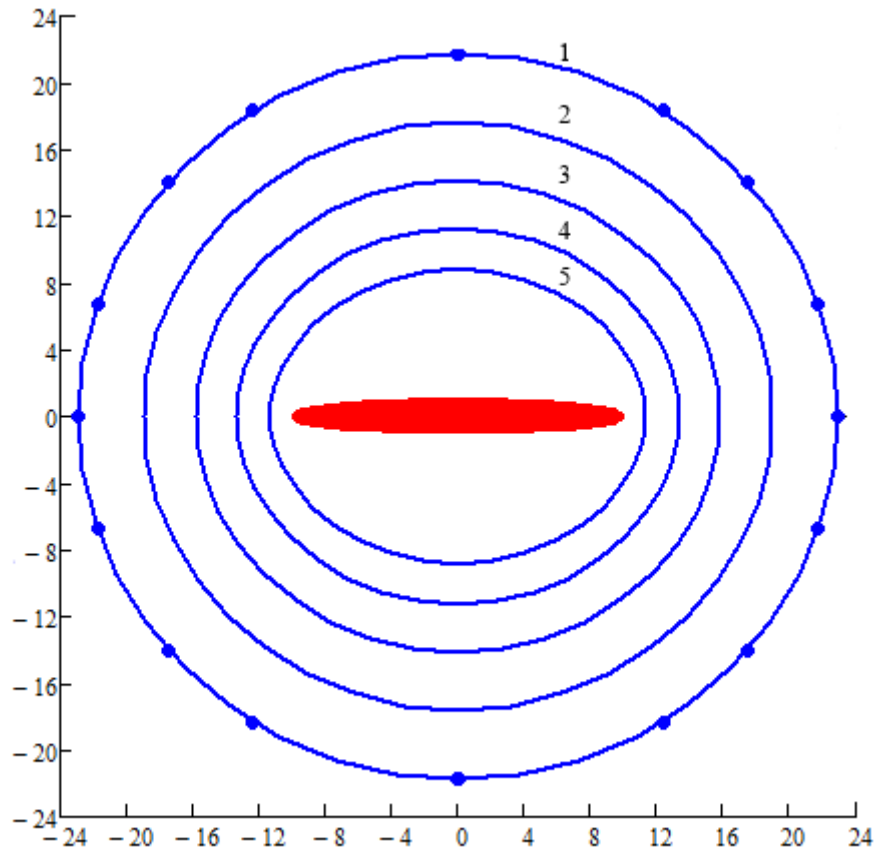
представлен на рис.3,4.



a)



б)



в)

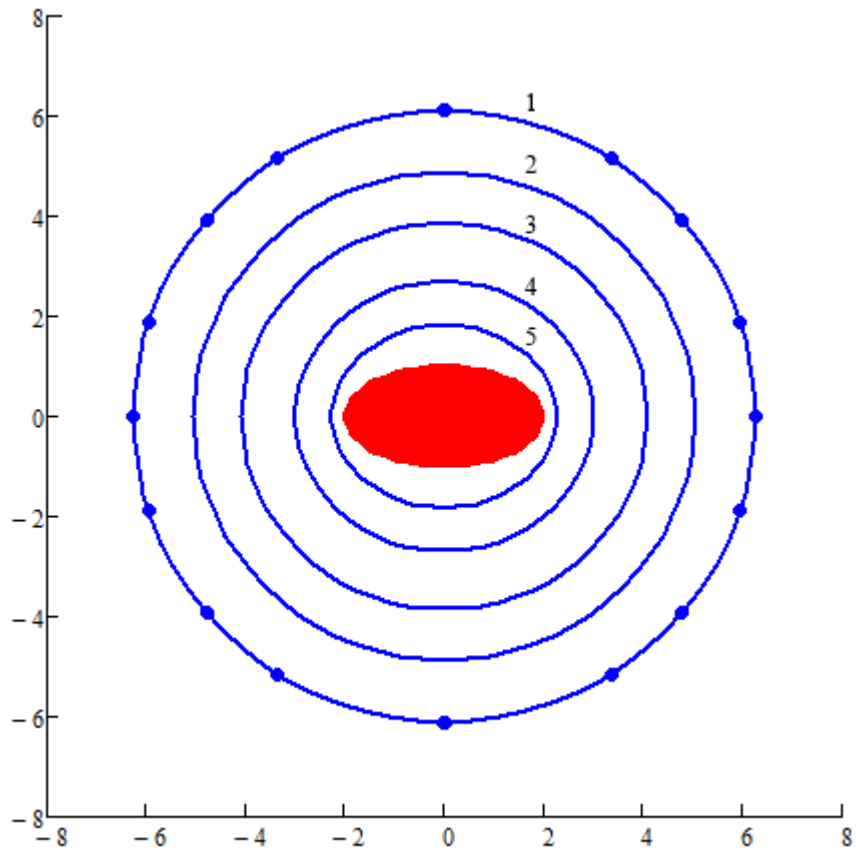
Рис.2 Экипотенциальные поверхности $\varphi = \text{const}$ при $\rho_0 = 1$:

а) $a/b=2$, 1 – $\varphi = 1.5$, 2 – $\varphi = 1.8$, 3 – $\varphi = 2.25$, 4 – $\varphi = 2.65$, 5 – $\varphi = 3$.

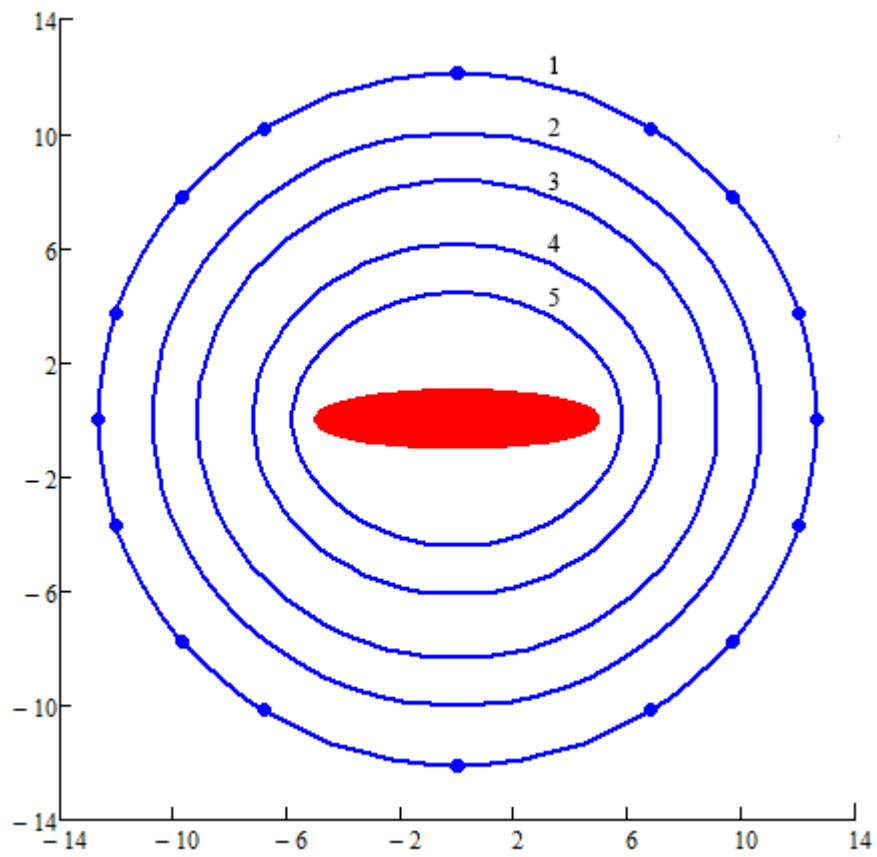
б) $a/b=5$, 1 – $\varphi = 5.5$, 2 – $\varphi = 6.5$, 3 – $\varphi = 7.5$, 4 – $\varphi = 8.5$, 5 – $\varphi = 9.5$.

в) $a/b=10$, 1 – $\varphi = 11$, 2 – $\varphi = 13$, 3 – $\varphi = 15$, 4 – $\varphi = 17$, 5 – $\varphi = 19$.

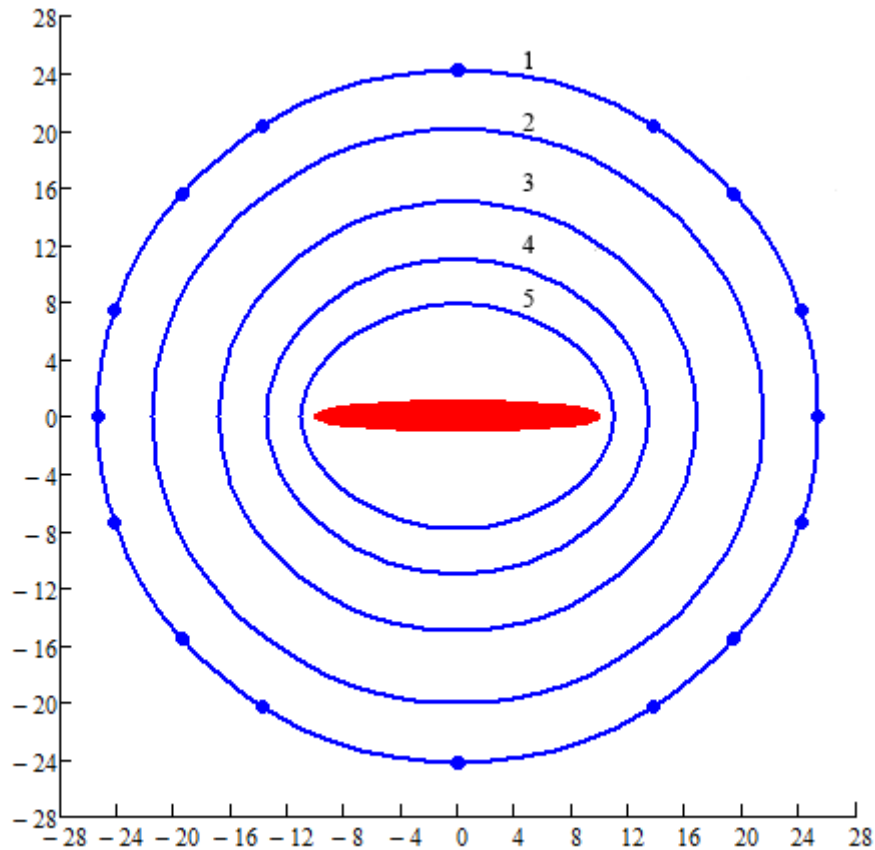
Во всех случаях экипотенциали вне пучка могут быть аппроксимированы эллипсоидальными овалами с небольшим отношением полуосей, указанным на рисунках для ближайшей к пучку и периферической кривых. Последние весьма близки к окружностям, а точками на них отмечены координаты эллипса с теми же полуосями. При качественном подобии кривых $\varphi = \text{const}$ при разных значениях ρ_1 распределение потенциала для этих случаев существенно различается.



a)



б)



в)

Рис.3 Эквипотенциальные поверхности $\varphi = \text{const}$ при $\rho_0 = 2.5$:

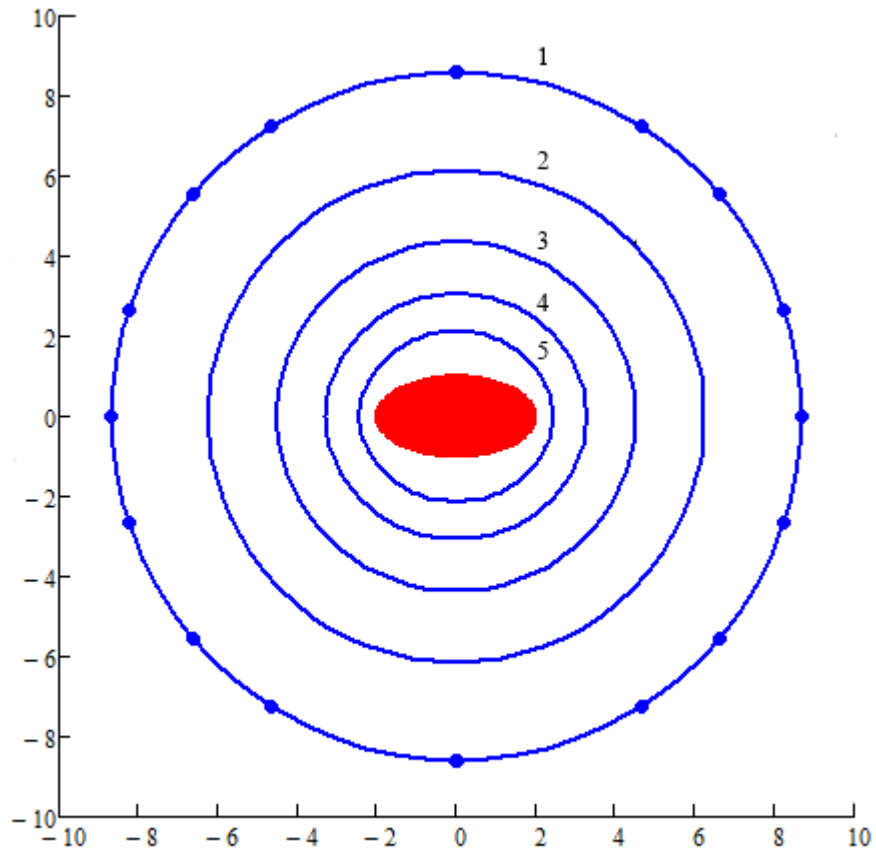
а) $a/b=2$, $1 - \varphi = 3$, $2 - \varphi = 4.5$, $3 - \varphi = 6$, $4 - \varphi = 7$, $5 - \varphi = 8$.

б) $a/b=5$, $1 - \varphi = 10$, $2 - \varphi = 13$, $3 - \varphi = 15$, $4 - \varphi = 18$, $5 - \varphi = 20$.

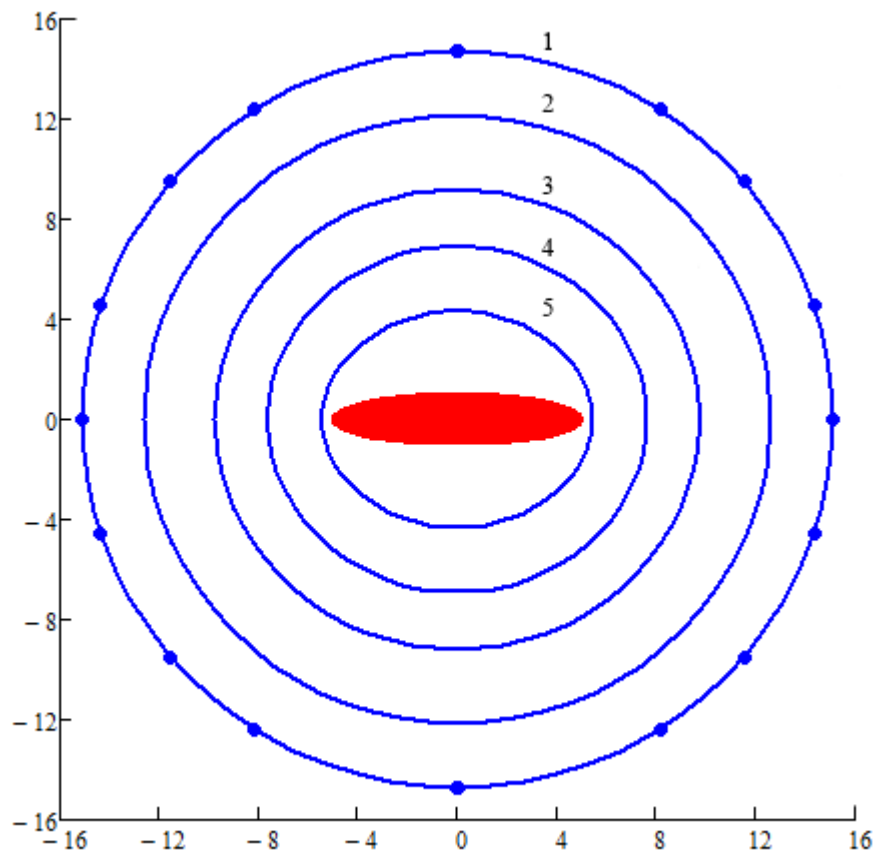
в) $a/b=10$, $1 - \varphi = 20$, $2 - \varphi = 26$, $3 - \varphi = 32$, $4 - \varphi = 38$, $5 - \varphi = 42$.

Отметим, что выполненные в [14] расчеты с использованием пакета OPERA 3D в относительно простой с вычислительной точки зрения задаче без сингулярной эмитирующей поверхности не обнаруживают высокой точности: в симметричной по квадрантам проблеме получено несимметричное распределение параметров пучка.

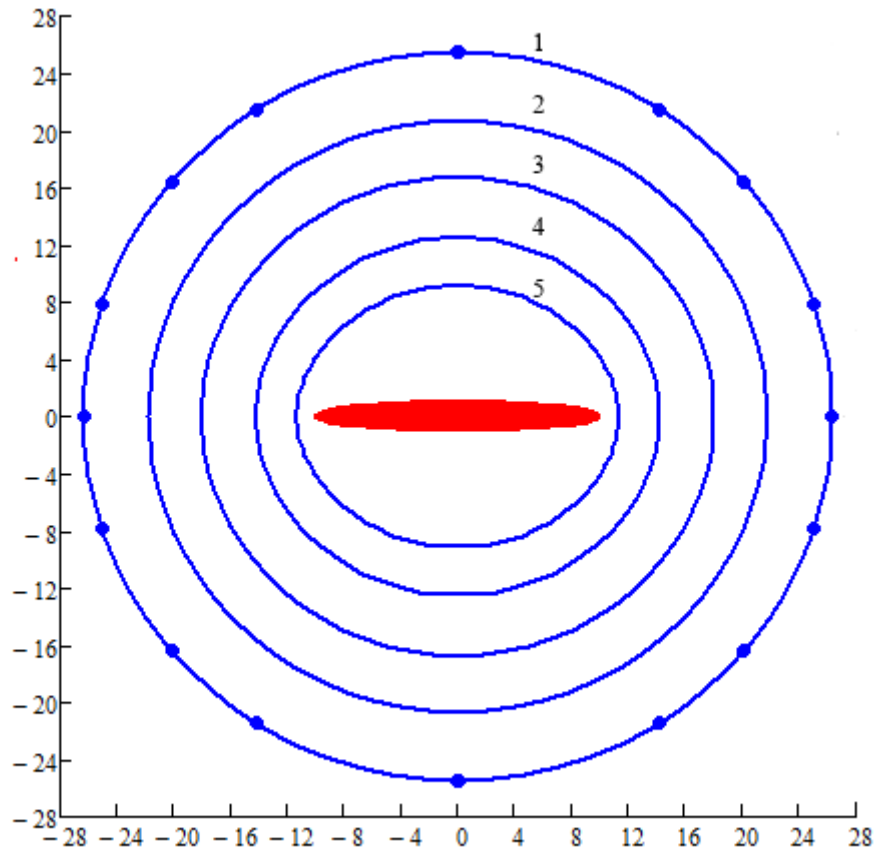
В качестве меры по борьбе с искажением формы сечения авторы работы [14] предлагают либо усилить магнитное поле, либо увеличить коэффициент заполнения. Второе предложение не решает проблемы: приближение эллиптической эквипотенциали к неэквипотенциальной поверхности пучка приведет еще к большей деформации последней и высаживанию на стенки канала.



a)



б)



в)

Рис.4 Эквипотенциальные поверхности $\varphi = \text{const}$ при $\rho_0 = -0.5$:

а)– $a/b=2$, $1 - \varphi = 1.5$, $2 - \varphi = 2$, $3 - \varphi = 2.5$, $4 - \varphi = 3$, $5 - \varphi = 3.5$.

б)– $a/b=5$, $1 - \varphi = 4$, $2 - \varphi = 5.5$, $3 - \varphi = 6.5$, $4 - \varphi = 7.5$, $5 - \varphi = 8.2$.

в) $a/b=10$, $1 - \varphi = 9$, $2 - \varphi = 11$, $3 - \varphi = 13$, $4 - \varphi = 14.5$, $5 - \varphi = 16$.

Возмущение эллиптического сечения может быть не только уменьшено, но и устранено в результате перехода к определяемому приведенными выше формулами сечению канала, который с точки зрения технологии не сложнее эллиптического. Магнитное поле, играющее роль стабилизирующего фактора, напротив, может быть ослаблено.

При нормировке потенциала на потенциал анода φ_a решение уравнения Лапласа на выходе из электронно-оптической системы можно представить в виде

$$\varphi = 1 + \frac{1}{2} \rho_0 b^2 [F_1(\xi, \eta; \beta) + \bar{\rho}_1 F_2(\xi, \eta; \beta)], \quad (12)$$

$$\beta = a/b$$

где β - отношение полуосей; на рисунках значение потенциала определялось выражением в квадратных скобках, зависящим только от β .

Параметр ρ_0 в (12) можно выразить через ток пучка I или среднюю плотность тока $\bar{J} = I/\pi ab$:

$$I = 4 \int_0^{\xi_e} V_a d\xi \int_0^{\frac{\pi}{2}} h^2(\xi, \eta) \rho(\xi, \eta) d\eta =$$

$$= \pi ab \sqrt{2} \rho_0 \left[1 + \frac{\bar{\rho}_1}{16} \left(\frac{\beta^4 + 4\beta^2 + 3}{8\beta^2} - \frac{\beta^4 - 2\beta^2 + 1}{2\beta^2} \frac{\beta^2 - 1}{\beta} \ln \frac{\beta + 1}{\beta - 1} \right) \right],$$

$$\bar{J} = \frac{J}{J_*}, \quad J_* = \frac{V^3 \epsilon_0}{(e/m)L^2}, \quad (13)$$

где ϵ_0 - диэлектрическая постоянная вакуума, e/m – удельный заряд электрона, L – характерный масштаб длины (расстояние катод-анод), V – характерная скорость $V^2 = \varphi_a$.

Пересчет маркировки эквипотенциалей на рисунках при нормировке на анодный потенциал производится по формулам (12),(13) при задании размерных значений физических параметров системы.

Заключение

В случае, если приоритетной задачей является сохранение начальной эллиптической формы пучка, конфигурация канала определяется приведенными выше выражениями. Форма сечения тракта транспортировки, близкого к поверхности пучка, хорошо аппроксимируется эллипсом с отношением полуосей, малым по сравнению с этим параметром для электронного потока и коэффициентом заполнения, меньшим 0.5, особенно для сильно вытянутого контура пучка. Вне зависимости от характера распределения плотности в потоке всегда можно указать удаленную эквипотенциаль, с высокой точностью совпадающую с окружностью. Для пучка с $a = 10$, $b = 1$ такая эквипотенциаль имеет радиус порядка 20. Сопровождающее магнитное поле при использовании рассчитанной формы

тракта является стабилизирующим фактором и не тратится на сохранение формы сечения.

Литература

1. Pasaour J., Nguen K., Antonsen T. et al. // IVEC-2009. P.300.
2. Ruan C., Wang S., Han Y. et al. // IEEE Trans. on Electron Dev.2014. V.61 N6 P.1643.
3. Pershing D., Nguen K., Abe D.K. et al. // IVEC-2014. P.121.
4. Cusick M., Atkinson J., Balkcum A. et al.// IVEC-2009. P.296.
5. Jangid S.K., Bandyopadhyay A.K., Joshi L.M. et al. // IVEC-2013. Poster Session III.
6. Tang X., Duan Z., Guo X. et al. // IVEC-2012. P.385.
7. Nguen K.T., Pasaour J., Wright E.L. et al. // IVEC-2008. P.179.
8. Pasaour J., Wright E., Nguen K. et al. // IVEC-2010. P.43.
9. Pasaour J., Nguen K., Wright E. et al. // IEEE Trans. Electron Dev.2011. V.58. NG. P.1792.
10. Levush B., Abe D., Pasaour J. et al. // IRMMW-THz 2014.
11. Pasaour J., Abe D., Nguen K. et al. // IVEC-2014. P.19.
12. Мануилов В.Н., Заславский В.Ю. Глявин М.Ю. и др. // Труды XI Всероссийского семинара “Проблемы теоретической и прикладной электронной и ионной оптики.” 2013.М. : ГНЦ “НПО ОРИОН”. С.55.
13. Syrovoy V.A. Theory of intense beams of charged particles. New York: ELSEVIER, 2011.
14. Panda P.C., Srivastava V., Vohra A. // IVEC-2011. P.299.
15. Tang X., Sha G., Duan Z. et al. // IVEC-2013. Poster Session I.
16. Муратов М.З. Потенциалы эллипсоида. М. Атомиздат, 1976.